

МИНИСТЕРСТВО ЭНЕРГЕТИКИ И ЭЛЕКТРОНICAИИ СССР  
ГЛАВНОЕ НАУЧНО-ТЕХНИЧЕСКОЕ УПРАВЛЕНИЕ ЭНЕРГЕТИКИ И ЭЛЕКТРОНICAИИ

**МЕТОДИКА РАСЧЕТА  
МЕТРОЛОГИЧЕСКИХ ХАРАКТЕРИСТИК  
КАНАЛОВ ТЕЛЕИЗМЕРЕНИЙ**

**РД 34.11.207-89**



**СОЮЗТЕХЭНЕРГО  
Москва 1989**

МИНИСТЕРСТВО ЭНЕРГЕТИКИ И ЭЛЕКТРИФИКАЦИИ СССР  
ГЛАВНОЕ НАУЧНО-ТЕХНИЧЕСКОЕ УПРАВЛЕНИЕ ЭНЕРГЕТИКИ И ЭЛЕКТРИФИКАЦИИ

МЕТОДИКА РАСЧЕТА  
МЕТРОЛОГИЧЕСКИХ ХАРАКТЕРИСТИК  
КАНАЛОВ ТЕЛЕИЗМЕРЕНИЙ

РД 34.11.207-89

СЛУЖБА ПЕРЕДОВОГО ОПЫТА ПО "СОЮЗТЕХЭНЕРГО"  
Москва 1989

**Р А З Р А Б О Т А Н О** Производственным объединением по наладке,  
совершенствованию технологии и эксплуатации электростанций  
и сетей "Советехэнерго", предприятием "Дальтехэнерго"

**И С П О Л Н И Т Е Л И** Ю.Б.БОЛЬШАКОВ, Ю.А.БОРИСОВ, А.А.ЛЕПУК

**У Т В Е Р Ж Д Е Н О** Главным научно-техническим управлением  
энергетики и электрификации 11.04.89 г.

Заместитель начальника А.П.БЕРСЕНЕВ

(C) СПО Советехэнерго, 1989.

УДК 621.398.389 (083.93)

МЕТОДИКА РАСЧЕТА МЕТРОЛОГИЧЕСКИХ  
ХАРАКТЕРИСТИК КАНАЛОВ ТЕЛЕИЗМЕРЕНИЙ

РД 34.11.207-89

Срок действия установлен  
с 01.07.89 г.  
до 01.07.94 г.

Настоящая Методика применяется для расчета метрологических характеристик (МХ) систем телеизмерения энергопредприятий, энергообъединений и диспетчерских пунктов.

С помощью Методики устанавливаются способы расчета МХ каналов телеизмерений (КТИ) из числа регламентированных ГОСТ 8.009.84 по МХ агрегатных средств измерений (АСИ), входящих в состав КТИ, для статического режима измерений.

Методика используется для расчетного определения суммарной погрешности каналов телеизмерений при проектировании, эксплуатации и метрологической аттестации систем телеизмерений.

Определения терминов, используемых в Методике, приведены в приложении I.

## I. ОБЩИЕ ПОЛОЖЕНИЯ

I.1. В состав КТИ входят все средства измерений, передачи данных, линии связи и средства отображения информации от первичных измерительных трансформаторов до средств представления информации, необходимые для выполнения законченной функции измерения.

I.2. Расчет МХ производится для КТИ, АСИ которого согласованы по входным и выходным импедансам. Условия эксплуатации АСИ соответствуют требованиям, указанным в технической документации завода-изготовителя АСИ.

I.3. Приемопередающие устройства телемеханики, приемники, передатчики данных и линии связи рассматриваются в настоящей Методике как единое АСИ с нормируемыми МХ.

## 2. ВЫБОР КОМПЛЕКСА МЕТРОЛОГИЧЕСКИХ ХАРАКТЕРИСТИК КАНАЛОВ ТЕЛЕИЗМЕРЕНИЙ

2.1. В таблице приведены комплексы МХ КТИ, подлежащие расчету.

Первый комплекс	Второй комплекс
1. Нижняя $\Delta_{H_{НУ}}$ и верхняя $\Delta_{B_{НУ}}$ границы интервала, в котором с заданной вероятностью $P$ находится погрешность КТИ в нормальных условиях эксплуатации каждого АСИ.	1. Нижняя $\Delta_H$ и верхняя $\Delta_B$ границы интервала, в котором с заданной вероятностью $P$ находится погрешность КТИ в реальных условиях эксплуатации.
2. Нижняя $\Delta_H$ и верхняя $\Delta_B$ границы интервала, в котором с заданной вероятностью $P$ находится погрешность КТИ в реальных условиях эксплуатации	2. Математическое ожидание $M[\Delta]$ суммарной погрешности КТИ в реальных условиях эксплуатации. 3. $\sigma[\Delta]$ среднее квадратическое отклонение (СКО) суммарной погрешности КТИ в реальных условиях эксплуатации

2.2. Первый комплекс МХ КТИ следует выбирать в том случае, когда в НТД на АСИ, входящие в КТИ, нормируется основная погрешность и наибольшие допустимые изменения ее, вызванные воздействием влияющих факторов.

2.3. Второй комплекс МХ КТИ следует выбирать в случае нормирования в НТД на АСИ раздельно систематической, случайной составляющей основной погрешности и функций влияния на эти составляющие погрешности.

## 3. ИСХОДНЫЕ ДАННЫЕ ДЛЯ РАСЧЕТА МЕТРОЛОГИЧЕСКИХ ХАРАКТЕРИСТИК КАНАЛОВ ТЕЛЕИЗМЕРЕНИЙ

3.1. Для расчета первого комплекса МХ КТИ необходимы следующие исходные данные:

### 3.1.1. Нормируемые МХ АСИ:

$\Delta$  – предел допустимой основной погрешности  $i$ -го АСИ;

$f_{tt}$ ,  $f_{tn}$  – пределы допустимых угловых погрешностей измерительного трансформатора тока и напряжения;

$\varepsilon_i(\xi_j)$  – наибольшие допустимые изменения основной погрешности  $i$ -го АСИ, вызванные воздействием  $j$ -й влияющей величины.

3.1.2. Характеристики влияющих величин: наименьшее  $\xi_{hj}$  и наибольшее  $\xi_{aj}$  значения влияющей величины, соответствующие реальным условиям эксплуатации АСИ.

3.1.3. Относительное падение напряжения  $\sigma U_{kk}$  в контрольном кабеле от измерительного трансформатора напряжения до измерительного преобразователя.

3.1.4. Значения номинального первичного тока  $I_{nom}$  и напряжения  $U_{nom}$  измерительных трансформаторов тока и напряжения.

3.1.5. Диапазон измерения преобразователей активной мощности  $P_{shk}$ , реактивной мощности  $Q_{shk}$ , тока  $I_{shk}$  и напряжения  $U_{shk}$ .

3.2. Для расчета второго комплекса МХ КТИ необходимы следующие исходные данные:

### 3.2.1. Нормируемые МХ АСИ:

$M_i[\Delta_{so}]$  – математическое ожидание систематической составляющей основной погрешности АСИ;

$\sigma[\Delta_{so}]$  – СКО систематической составляющей основной погрешности АСИ;

$\sigma[\dot{\Delta}]$  – предел допустимого СКО случайной составляющей основной погрешности АСИ;

$H_i$  – предел допустимой вариации АСИ при нормальных условиях;

$M_i$  – номинальная цена единицы наименьшего разряда кода цифрового АСИ;

$\psi_{si}(\xi_j)$  – номинальная функция влияния на систематическую составляющую погрешности АСИ;

$K_{si,j}$  – номинальный коэффициент влияния  $j$ -й влияющей величины на систематическую составляющую погрешности  $i$ -го АСИ;

$\psi_{\sigma i}(\xi_j)$  – номинальная функция влияния на СКО случайной составляющей погрешности АСИ;

$\psi_{H_i}(\xi_j)$  – номинальная функция влияния на вариацию АСИ.

- 3.2.2. Характеристики влияющих величин:  
математическое ожидание влияющих величин  $M_i[\xi_j]$ ;  
наибольшее  $\xi_{Bj}$  и наименьшее  $\xi_{Hj}$  значения влияющей величины.
- 3.2.3. Относительное падение напряжения  $\delta U_{kk}$  в контрольном кабеле от измерительного трансформатора напряжения до измерительного преобразователя.
- 3.2.4. Значения номинального первичного тока  $I_{nom}$ , и напряжения  $U_{nom}$  измерительных трансформаторов тока и напряжения.
- 3.2.5. Диапазон измерения преобразователей активной мощности  $P_{shk}$ , реактивной мощности  $Q_{shk}$ , тока  $I_{shk}$  и напряжения  $U_{shk}$ .

#### 4. РАСЧЕТ ПЕРВОГО КОМПЛЕКСА МЕТРОЛОГИЧЕСКИХ ХАРАКТЕРИСТИК КАНАЛОВ ТЕЛЕИЗМЕРЕНИЙ

4.1. Нижняя и верхняя границы интервала, в котором с заданной вероятностью  $P$  находится погрешность КТИ, при нормальных условиях (НУ) эксплуатации АСИ определяются по формулам:

$$\Delta_{Huy} = M[\Delta_{Huy}] - K\sigma[\Delta_{Huy}] ; \quad (4.1)$$

$$\Delta_{Buy} = M[\Delta_{Buy}] + K\sigma[\Delta_{Buy}] , \quad (4.2)$$

где  $M[\Delta_{Huy}]$  - математическое ожидание систематической составляющей суммарной погрешности КТИ при НУ эксплуатации АСИ;  
 $K$  - коэффициент, определяемый доверительной вероятностью  $P$ ;  
 $\sigma[\Delta_{Huy}]$  - СКО суммарной погрешности КТИ при НУ эксплуатации АСИ.

4.2. В исходных данных (п.3.1) нет информации о систематической составляющей АСИ, поэтому математическое ожидание  $M_i[\Delta_{Huy}]$   $i$ -го АСИ принимаем  $M_i[\Delta_{Huy}] = 0$ .

Таким образом, математическое ожидание суммарной погрешности КТИ определяется практически только падением напряжения в контрольном кабеле.

4.2.1. Для КТИ активной мощности

$$M[\Delta_{H_y}] = -0,01 \sum_{i=1}^n \delta U_{KK_i} R_{shk_i}, \quad (4.3)$$

где  $n$  - количество измерительных преобразователей мощности;  
 $\delta U_{KK_i}$  - относительное падение напряжения в контрольном кабеле от  $i$ -го трансформатора напряжения до  $i$ -го измерительного преобразователя, %;  
 $R_{shk_i}$  - диапазон шкалы  $i$ -го измерительного преобразователя.

#### 4.2.2. Для КТИ напряжения

$$M[\Delta_{H_y}] = -0,01 \delta U_{KK_i} U_{shk}, \quad (4.4)$$

где  $U_{shk}$  - диапазон шкалы преобразователя напряжения.

#### 4.2.3. При проектировании КТИ принимается

$$\delta U_{KK_i} = 0,5\%.$$

4.3. При суммировании большого количества ( $n \geq 4$ ) независимых погрешностей, распределенных по различным законам, распределение суммарной погрешности приближается к нормальному, поэтому для расчета по формулам (4.1, 4.2, 4.10, 4.11) принимаем  $K = 1,96$  для  $P = 0,95$ .

Для других значений  $P$  следует пользоваться значениями коэффициента Стьюдента для нормального закона распределения.

4.4. Для расчета СКО суммарной погрешности КТИ принято допущение, что погрешности АСИ, для которых МХ нормированы без разделения на систематическую и случайную составляющие, являются случайными величинами, распределенными по закону равномерной плотности. В этом случае СКО погрешности АСИ рассчитываются следующим образом:

4.4.1. Среднее квадратическое отклонение погрешности измерительных преобразователей, сумматоров, усилителей постоянного тока, устройства телемеханики и ЭВМ определяется по формуле

$$\sigma_i[\Delta_{hy}] = 0,01 \frac{\Delta_i}{K_p} \cdot P_{shk_i}, \quad (4.5)$$

где  $\Delta_i$  - основная приведенная погрешность АСИ, %;  
 $K_p$  - коэффициент, определяемый равномерным законом распределения плотности;  
 $P_{shk_i}$  - диапазон шкалы  $i$ -го АСИ в единицах измеряемого параметра.

Для доверительной вероятности  $P = 1$ ,  $K_p = \sqrt{3} = 1,7$ .

Для КТИ реверсивной мощности  $P_{shk}$  удваивается по абсолютному значению.

4.4.2. Среднее квадратическое отклонение погрешности  $\sigma_{IT_i}[\Delta_{hy}]$  измерительных трансформаторов тока и напряжения определяется по формуле

$$\sigma_{IT_i}[\Delta_{hy}] = 0,01 \sqrt{\frac{\Delta_{TT_i}^2 + \Delta_{TN_i}^2 + K_\varphi (f_{TT_i}^2 + f_{TN_i}^2)}{3}} \cdot P_{nom_i}, \quad (4.6)$$

где  $\Delta_{TT_i}$  - предел допустимой токовой погрешности измерительного трансформатора тока, %;  
 $\Delta_{TN_i}$  - предел допустимой погрешности напряжения измерительного трансформатора напряжения, %;  
 $K_\varphi$  - коэффициент, определяемый  $\cos \varphi$  ;  
 $f_{TT_i}$  - предел допустимой угловой погрешности измерительного трансформатора тока, срад ;  
 $f_{TN_i}$  - предел допустимой угловой погрешности измерительного трансформатора напряжения, срад ;  
 $P_{nom_i}$  - номинальная по коэффициенту трансформации мощность в единицах измеряемой величины.

4.4.3. Для КТИ активной мощности  $K_\varphi = \frac{1-\cos^2\varphi}{\cos^2\varphi}$ .

Для  $\cos \varphi = 0,8$   $K_\varphi = 0,6$ .

4.4.4. Для КТИ реактивной мощности  $K_\varphi = \frac{\cos^2\varphi}{1-\cos^2\varphi}$ .

Для  $\cos \varphi = 0,8$   $K_\varphi = 1,8$ .

4.4.5. Для трехфазных цепей измерения мощности

$$P_{nom_i} = \sqrt{3} \cdot U_{nom_i} \cdot I_{nom_i}, \quad (4.7)$$

где  $U_{ном_i}$  - номинальное первичное напряжение измерительного трансформатора напряжения, В;

$I_{ном_i}$  - номинальный первичный ток измерительного трансформатора тока, А.

#### 4.4.6. Для однофазных цепей измерения мощности

$$P_{ном_i} = U_{ном_i} I_{ном_i} . \quad (4.8)$$

4.5. Среднее квадратическое отклонение суммарной погрешности КТИ в НУ эксплуатации определяется по формуле

$$\begin{aligned} \sigma[\Delta_{НУ}] = & \sqrt{\sum_{i=1}^n (\sigma_{ип_i}^2 [\Delta_{НУ}] + \sigma_{ип_i}^2 [\Delta_{НУ}]) + \sum_{j=1}^m \sigma_{пс_j}^2 [\Delta_{НУ}] + \dots} \\ & \dots + \sigma_{yc}^2 [\Delta_{НУ}] + \sigma_{тм}^2 [\Delta_{НУ}] + \sigma_{эвм}^2 [\Delta_{НУ}], \end{aligned} \quad (4.9)$$

где  $n$  - количество измерительных преобразователей мощности;

$\sigma_{ип_i}[\Delta_{НУ}]$  - СКО измерительного преобразователя;

$m$  - количество суммирующих преобразователей;

$\sigma_{пс_j}[\Delta_{НУ}]$  - СКО погрешности суммирующего преобразователя;

$\sigma_{yc}[\Delta_{НУ}]$  - СКО погрешности усилителя постоянного тока;

$\sigma_{тм}[\Delta_{НУ}]$  - СКО погрешности устройства телемеханики;

$\sigma_{эвм}[\Delta_{НУ}]$  - СКО погрешности ЭВМ.

4.6. Нижняя  $\Delta_n$  и верхняя  $\Delta_b$  границы интервала, в котором с заданной вероятностью  $P$  находится суммарная погрешность КТИ, определяются по формулам:

$$\Delta_n = M[\Delta] - K \sigma[\Delta] ; \quad (4.10)$$

$$\Delta_b = M[\Delta] + K \sigma[\Delta] , \quad (4.11)$$

где  $M[\Delta]$  - математическое ожидание суммарной погрешности КТИ в реальных условиях эксплуатации;

$\sigma[\Delta]$  - СКО суммарной погрешности КТИ в реальных условиях эксплуатации.

4.7. Полагаем, что изменение сопротивления контрольного кабеля от изменения внешних влияющих факторов является несущественным, поэтому

$$M[\Delta] = M[\Delta_{hy}] .$$

4.8. Среднее квадратическое отклонение суммарной погрешности КТИ в реальных условиях эксплуатации определяется по формуле

$$\sigma[\Delta] = \sqrt{\sum_{i=1}^n (\sigma_{i\pi_i}^2[\Delta] + \sigma_{i\pi_i}^2[\Delta]) + \sum_{j=1}^m \sigma_{i\pi_j}^2[\Delta] + \sigma_{yc}^2[\Delta] + \sigma_{TM}^2[\Delta] + \sigma_{GBM}^2[\Delta]}, \quad (4.12)$$

где  $\sigma_{i\pi_i}[\Delta]$  - СКО погрешности измерительного преобразователя в реальных условиях эксплуатации;  
 $\sigma_{i\pi_j}[\Delta]$  - СКО погрешности суммирующего преобразователя в реальных условиях эксплуатации;  
 $\sigma_{yc}[\Delta]$  - СКО погрешности усилителя в реальных условиях эксплуатации;  
 $\sigma_{TM}[\Delta]$  - СКО погрешности устройства телемеханики в реальных условиях эксплуатации.

4.9. Среднее квадратическое отклонение погрешности измерительного преобразователя, суммирующего преобразователя, усилителя и устройства телемеханики определяется по формуле

$$\sigma_i[\Delta] = \sqrt{\sigma_i^2[\Delta_{hy}] + \sum_{j=1}^l \sigma_i^2(\varepsilon_j)}, \quad (4.13)$$

где  $\sigma_i[\Delta_{hy}]$  - определяется по формуле (4.5);

$l$  - количество существенных влияющих факторов, для которых нормированы изменения МХ АСИ;

$\sigma_i(\varepsilon_j)$  - дополнительная погрешность  $i$ -го АСИ, вызванная  $j$ -й влияющей величиной.

4.10. Среднее квадратическое отклонение дополнительной погрешности определяется по формуле

$$\sigma_i(\varepsilon_j) = 0,01 \cdot \frac{\varepsilon_{ij}}{1,7} \cdot p_{ik_i} K_{ij}, \quad (4.14)$$

где  $\varepsilon_{ij}$  - наибольшее допустимое изменение погрешности  $i$ -го АСИ от изменения  $j$ -й влияющей величины, %;

$K_{ij}$  - коэффициент, учитывающий воздействие  $j$ -й влияющей величины на  $i$ -е АСИ.

4.11. Для линейной функции влияния коэффициент  $K_{ij}$  определяется по формуле

$$K_{ij} = \frac{|\xi_j - \xi_{0j}|}{\Delta \xi_j} , \quad (4.15)$$

где  $\xi_j$  - наибольшее значение влияющей величины в реальных условиях;

$\xi_{0j}$  - нормальное значение  $j$ -й влияющей величины;

$\Delta \xi_j$  - диапазон изменения влияющей величины, для которого нормирована  $\xi_{ij}$ .

4.12. Для ступенчатой функции влияния коэффициент  $K_{ij}$  определяется по формуле

$$K_{ij} = \begin{cases} 0 & \text{при } \xi_j = \xi_{0j} \\ 1 & \text{при } \xi_j \neq \xi_{0j} \end{cases} , \quad (4.16)$$

где  $\xi_j$  - значение влияющей величины, в реальных условиях.

4.13. Дополнительные погрешности принимаются существенными при соблюдении неравенства

$$K_{ij} \varepsilon_{ij} \geq 0,17 \Delta_i . \quad (4.17)$$

## 5. РАСЧЕТ ВТОРОГО КОМПЛЕКСА МЕТРОЛОГИЧЕСКИХ ХАРАКТЕРИСТИК КАНАЛОВ ТЕЛЕИЗМЕРЕНИЙ

5.1. Границы интервала, в котором с заданной вероятностью  $P$  находится погрешность КТИ в реальных условиях эксплуатации, рассчитываются по формулам:

$$\Delta_H = M[\Delta] - K \sigma[\Delta] ; \quad (5.1)$$

$$\Delta_s = M[\Delta] + K \sigma[\Delta], \quad (5.2)$$

где  $M[\Delta]$  - математическое ожидание суммарной погрешности КТИ в реальных условиях эксплуатации;

$K$  - коэффициент, определяемый заданной доверительной вероятностью; выбирается в соответствии с п.4.3 Методики;

$\sigma[\Delta]$  - СКО суммарной погрешности КТИ в реальных условиях эксплуатации.

5.2. Математическое ожидание суммарной погрешности КТИ определяется по формуле

$$M[\Delta] = \sum_{i=1}^K M[\Delta_i] - 0,01 \sum_{i=1}^n \delta U_{KK_i} P_{MK_i}, \quad (5.3)$$

где  $K$  - количество АСИ КТИ;

$n$  - количество измерительных преобразователей мощности.

5.3. Математическое ожидание погрешности АСИ определяется по формуле

$$M[\Delta_i] = M[\Delta_{OS_i}] + \sum_{j=1}^m M[\Psi_{Si}(\xi_i)], \quad (5.4)$$

где  $M[\Delta_{OS_i}]$  - математическое ожидание систематической составляющей погрешности  $i$ -го АСИ;

$m$  - количество влияющих величин, существенных для  $i$ -го АСИ;

$M[\Psi_{Si}(\xi_i)]$  - математическое ожидание  $j$ -й функции влияния на систематическую составляющую погрешности  $i$ -го АСИ. Если для АСИ нормирован предел  $\Delta_{OS_i}$ , допустимых значений систематической составляющей основной погрешности без указания  $M[\Delta_{OS_i}]$ , то для расчетов пользуются предположением

$$M[\Delta_{OS_i}] = 0.$$

5.4. Для линейных функций влияния математическое ожидание рассчитывается по формуле

$$M[\psi_{Si}(\xi_j)] = K_{Si,j}(M[\xi_j] - \xi_{0j}) , \quad (5.5)$$

где  $K_{Si,j}$  - номинальный коэффициент влияния  $j$ -й влияющей величины на систематическую составляющую погрешности  $i$ -го АСИ;

$M[\xi_j]$  - математическое ожидание  $j$ -й влияющей величины.

5.5. Для ступенчатых функций влияния математическое ожидание рассчитывается по формуле

$$M[\psi_{Si}(\xi_j)] = 0 \quad (5.6)$$

при  $\xi_j \neq \xi_{0j}$ .

5.6. При проектировании КТИ в случае, если нет оснований выделить области предпочтительных значений влияющей величины,  $M[\xi_j]$  рассчитывается по формуле

$$M[\xi_j] = 0,5(\xi_{Hj} + \xi_{Bj}) . \quad (5.7)$$

5.7. СКО суммарной погрешности КТИ в реальных условиях эксплуатации определяется по формуле

$$\sigma[\Delta] = \sqrt{D[\Delta]} , \quad (5.8)$$

где  $D[\Delta]$  - дисперсия суммарной погрешности КТИ в реальных условиях эксплуатации.

5.8.  $D[\Delta]$  определяется по формуле

$$D[\Delta] = \sum_{i=1}^k D_i[\Delta] + \sum_{i=1}^n \sigma_{IT_i}^2[\Delta] , \quad (5.9)$$

где  $D_i[\Delta]$  - дисперсия  $i$ -го АСИ в реальных условиях эксплуатации;

$\sigma_{IT_i}^2[\Delta]$  - рассчитывается по формуле (4.6).

5.9. Дисперсия  $i$ -го АСИ в реальных условиях эксплуатации определяется по формуле

$$D_i[\Delta] = \sigma_i^2[\Delta_{OS}] + \sum_{j=1}^m D[\psi_{Si}(\xi_j)] + \\ + (\sigma_i^2[\Delta] + \sum_{j=1}^l \psi_{Si}^2(\xi_j))^2 + \frac{1}{12} [H_i + \sum_{j=1}^k \psi_{H_i}(\xi_j)]^2 + \frac{M_i^2}{12} , \quad (5.10)$$

где  $\sigma_i[\Delta_{os}]$  - СКО систематической составляющей погрешности  $i$ -го АСИ;  
 $D[\psi_{si}(\xi_j)]$  - дисперсия  $j$ -й функции влияния на систематическую составляющую погрешности  $i$ -го АСИ;  
 $\sigma_i[\delta]$  - предел допустимого СКО случайной составляющей  $i$ -го АСИ;  
 $\psi_{si}(\xi_j)$  - функция влияния  $j$ -й влияющей величины на СКО  $i$ -го АСИ;  
 $H_i(\xi_j)$  - предел допустимой вариации  $i$ -го АСИ при нормальных условиях;  
 $\psi_{hi}(\xi_j)$  - функция влияния  $j$ -й влияющей величины на вариацию  $i$ -го АСИ;  
 $M_i$  - номинальная цена единицы наименьшего разряда кода.

Суммирование осуществляется для  $m, \ell$  и  $k$  существенных влияющих величин, для которых нормированы МХ

$$\psi_{si}(\xi_j) \quad j=1,2 \dots m, \quad \psi_{\sigma i}(\xi_j) \quad j=1,2 \dots \ell, \quad \psi_{hi}(\xi_j) \quad j=1,2 \dots k.$$

5.10. Для линейных функций влияния

$$\psi_i(\xi_j) = K_{si,j}(\xi_j - \xi_{0j}) \quad (5.11)$$

значение  $D[\psi_i(\xi_i)]$  вычисляется по формуле

$$D[\psi_i(\xi_i)] = \sigma^2(\xi_j) K_{ij}^2, \quad (5.12)$$

где  $\sigma(\xi_j)$  - СКО  $j$ -й влияющей величины;

$K_{ij}$  - номинальный коэффициент влияния  $j$ -влияющей величины на погрешность  $i$ -го АСИ.

5.11. Для ступенчатых функций влияния

$$\psi_{si}(\xi_j) = (\xi_j - \xi_{0j}) K_{ijs}, \quad (5.13)$$

где  $K_{ijs}$  определяется по формуле (4.16).

Значение  $D[\psi_i(\xi_i)]$  вычисляется по формуле

$$D[\psi_i(\xi_i)] = (\xi_j - \xi_{0j})^2. \quad (5.14)$$

5.42. При проектировании КТИ в случае, если нет основания выделить область предпочтительного значения влияющей величины. СКО влияющей величины определяется по формуле

$$\sigma(\xi_j) = \frac{\xi_{Bj} - \xi_{Hj}}{2\sqrt{3}}. \quad (5.15)$$

## 6. ФОРМЫ ВЫРАЖЕНИЯ МЕТРОЛОГИЧЕСКИХ ХАРАКТЕРИСТИК КАНАЛОВ ТЕЛЕИЗМЕРЕНИЙ

6.1. Метрологические характеристики КТИ, перечисленные в разд.2, должны выражаться в виде характеристик абсолютной величины измеряемого параметра, при этом они должны указываться в единицах измеряемой величины. Результаты расчета МХ КТИ приводятся в таблице с указанием доверительной вероятности Р.

6.2. В приложении 2 приведен пример расчета МХ КТИ суммарной мощности ТЭЦ по МХ АСИ.

### Приложение 1 Справочное

#### ОПРЕДЕЛЕНИЯ ТЕРМИНОВ, ИСПОЛЬЗУЕМЫХ В МЕТОДИКЕ

Термины	Определения
Канал телеметрии	Функционально объединенная совокупность средств измерений, по которой проходит один последовательно преобразуемый информативный сигнал, выполняющая законченную функцию измерений
Система телеметрии	Совокупность технических средств измерений, функционально объединенных в КТИ постоянной или переменной структуры, предназначенных для получения, передачи и отображения информации об измеряемых параметрах

Окончание приложения 1

Термины	Определения
Агрегатное средство измерений	Техническое средство или конструктивно законченная совокупность технических средств с нормированными метрологическими характеристиками и всеми необходимыми видами совместимости в составе КТИ
Метрологическая характеристика средств измерений	По ГОСТ 8.009-84

Приложение 2  
Справочное

ПРИМЕР РАСЧЕТА МЕТРОЛОГИЧЕСКИХ ХАРАКТЕРИСТИК  
КАНАЛОВ ТЕЛЕИЗМЕРЕНИЙ СУММАРНОЙ МОЩНОСТИ ТЭЦ

В качестве примера выполнен расчет МХ КТИ суммарной мощности ТЭЦ по МХ АСИ.

1. Исходные данные

1.1. Номинальные значения электрических параметров ТЭЦ приведены в табл. П2.1.

Таблица П2.1

Технические характеристики вторичных цепей ТЭЦ

Наименование	Номинальный первичный ток $I_{nom}$ , А	Номинальное первичное напряжение $U_{nom}$ , В	Относительное падение напряжения во вторичных цепях TH, %	Номинальная мощность по коэффициенту трансформации $R_{nom}$ , МВт	Номинальная мощность генератора $P_g$ , МВт
ТГ-1	4000	6000	0,25	41,6	30
ТГ-2	4000	6000	0,20	41,6	20

Окончание таблицы П2.1

Наименование	Номинальный первичный ток $I_{\text{ном}}$ , А	Номинальное первичное напряжение $U_{\text{ном}}$ , В	Относительное падение напряжения во вторичных цепях TH, %	Номинальная мощность по коэффициенту трансформации $P_{\text{ном}}$ , МВт	Номинальная мощность генератора $P_g$ , МВт
ТГ-3	8000	6000	0,25	83,1	60
ТГ-4	5000	10000	0,30	86,6	50
Блок № 1	8000	18000	0,40	249,4	165
Блок № 2	8000	18000	0,50	249,4	165
Блок № 3	8000	18000	0,45	249,4	165
Блок № 4	8000	18000	0,50	249,4	165

Примечание. Значение  $P_{\text{ном}}$  рассчитано по формуле (4.7).

1.2. Структурная схема КТИ мощности приведена на рисунке.

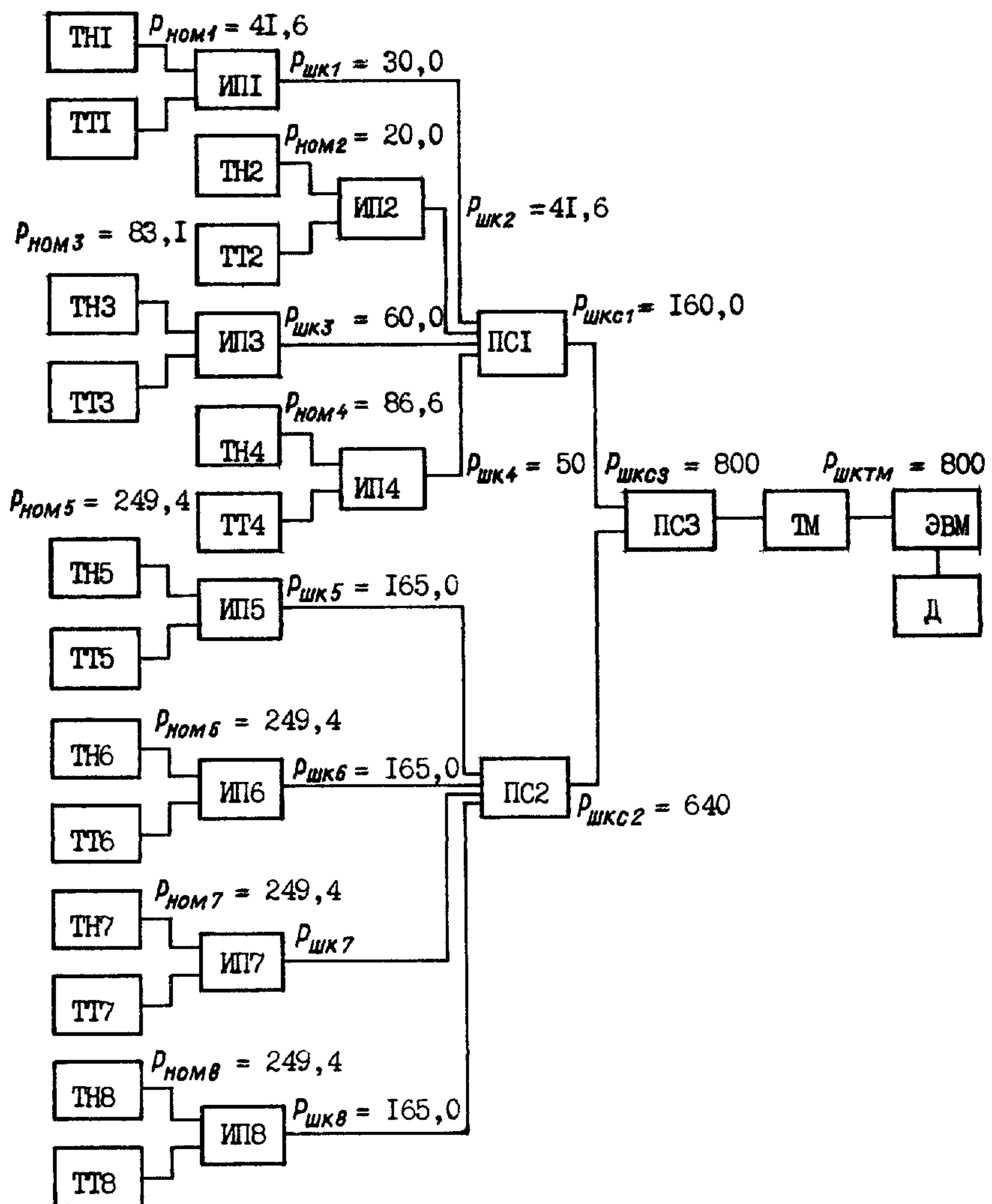
1.3. Диапазон шкалы измерительного преобразователя  $P_{\text{шк}i}$  соответствует номинальной мощности генератора  $P_{gi}$ , т.е.

$$P_{\text{шк}i} = P_{gi}$$

1.4. Диапазон полной шкалы суммирующего преобразователя  $P$  определяется по формуле  $P_{\text{ПС}j} = \sum_{i=1}^n P_{\text{шк}i}$ ,

где  $n$  – количество задействованных входов суммирующего преобразователя.

1.5. Канал телеметрии суммарной мощности ТЭЦ состоит из АСИ, для которых в НТД нормируется основная погрешность и наибольшие допустимые изменения ее, вызванные изменением влияющих величин. Метрологические характеристики АСИ, входящих в КТИ, приведены в табл.П2.2.



Структурная схема КТИ суммарной мощности ТЭС:

TH – измерительный трансформатор напряжения; TT – измерительный трансформатор тока; ИП – измерительный преобразователь; ПС – суммирующий преобразователь; TM – устройство телемеханики; ЭВМ – электронная вычислительная машина; Д – дисплей

4.6. Условия эксплуатации АСИ:

4.6.1. Измерительные и суммирующие преобразователи находятся в помещениях, где не производится кондиционирование воздуха, т.е. в условиях, значительно отличающихся от нормальных:

температура окружающего воздуха  $20^{\circ}\text{C}^{+15}_{-5}$ ;

относительная влажность воздуха  $60\%^{+30}_{-40}$ ;

атмосферное давление  $101 \text{ кПа} \pm 10$ .

4.6.2. Устройства телемеханики и ЭВМ располагаются в кондиционируемых помещениях, т.е. приближенных к нормальным:

температура окружающего воздуха  $20^{\circ}\text{C}^{+5}_{-5}$ ;

относительная влажность воздуха  $60\%^{+20}_{-20}$ ;

атмосферное давление  $101 \text{ кПа} \pm 10$ .

4.6.3. Нормы качества измеряемой электрической энергии и напряжения питания устройства телемеханики и ЭВМ соответствуют требованиям ГОСТ 43.109-67:

отклонение частоты сети переменного тока  $\pm 0,1 \text{ Гц}$ ;

отклонение номинального напряжения  $\pm 5\%$ ;

изменение формы кривой тока и напряжения не превышает 2%.

Таблица П2.2

## Метрологические характеристики АСИ, входящих в КТИ

Наименование АСИ	Предел допустимого значения основной погрешности		Предел допустимого значения дополнительной погрешности			Примечание
	$\Delta_i \%$	$f_i \text{ срад}$	Влияющий фактор	Диапазон изменения	Значение, %	
Измерительный трансформатор тока	$\pm 0,5$	$\pm 0,9$				По ГОСТ 7746-78 при первичном токе 100% номинального
Измерительный трансформатор напряжения	$\pm 0,5$	$\pm 0,6$				По ГОСТ 1983-77
Измерительный преобразователь активной мощности трехфазного тока Е748/1	$\pm 0,5$		Изменение температуры окружающего воздуха Отклонение напряжения измеряемой цепи Отклонение частоты измеряемой цепи Изменение формы кривой тока и напряжения Внешнее однородное магнитное поле индукции	От -10 до +50 °C $\pm 20\%$ 45–55 Гц От 0 до 20% От 0 до 0,5 мТ	$\pm 0,5$ $\pm 0,5$ $\pm 0,25$ $\pm 0,5$ $\pm 0,5$	На каждые 10 °C при отклонении температуры от $(20 \pm 2)^\circ\text{C}$ – При отклонении частоты от 50 Гц – –

Преобразователь суммирующих аналоговых сигналов постоянного тока Е831/1	$\pm 1,0$	Изменение температуры окружающего воздуха Отклонение напряжения измеряемой цепи Отклонение частоты измеряемой цепи Изменение формы кривой тока и напряжения Напряженность внешнего однородного магнитного поля	От -30 до +50 $\pm 20\%$ 45-65 Гц От 0 до 20% От 0 до 400 А/м	$\pm 1,0$ $\pm 0,5$ $\pm 0,5$ $\pm 0,5$ $\pm 0,5$	На каждые $10^{\circ}\text{C}$ при отклонении температуры от $(20\pm 5)^{\circ}\text{C}$ - При отклонении частоты от 50 или 60 Гц - - -
Устройство телемеханики ТМ-512	$\pm 0,6$	Отклонение напряжения питания от номинального	От +10 до -15%	$\pm 0,3$	При цифровом воспроизведении измеряемого параметра
Электронно-вычислительная машина СМ-2М (алгоритм масштабирования)	$\pm 0,1$				-

## 2. Выбор комплекса МХ КТИ

В НТД на АСИ нормированы основная погрешность и наибольшие допустимые изменения ее, вызванные влияющими величинами, поэтому выбираем первый комплекс МХ КТИ.

3. Расчет верхней  $\Delta_{H_y}$  и нижней  $\Delta_{N_y}$  границ доверительного интервала суммарной погрешности КТИ для нормальных условий эксплуатации АСИ

3.1. По формуле (4.3) определяем математическое ожидание погрешности КТИ при НУ:

$$M[\Delta_{H_y}] = -0,01 (0,25 \times 30 + 0,20 \times 20 + 0,25 \times 60 + 0,30 \times 50 + 0,40 \times 165 + 0,50 \times 165 + 0,45 \times 165 + 0,50 \times 165) = \\ = -3,47 \text{ МВт.}$$

3.2. По формуле (4.6) рассчитываем  $\sigma_{IT_i}[\Delta_{H_y}]$  для  $\cos \varphi = 0,8$ . При этом согласно п.4.4.3  $K_\varphi = 0,6$ .

$$\sigma_{IT_1}[\Delta_{H_y}] = 0,01 \times 41,6 \sqrt{\frac{0,5^2 + 0,5^2 + 0,6(0,9^2 + 0,6^2)}{3}} = \\ = 0,26 \text{ МВт;}$$

$$\sigma_{IT_2}[\Delta_{H_y}] = 0,01 \times 41,6 \sqrt{\frac{0,5^2 + 0,5^2 + 0,6(0,9^2 + 0,6^2)}{3}} = \\ = 0,26 \text{ МВт;}$$

$$\sigma_{IT_3}[\Delta_{H_y}] = 0,01 \times 83,1 \sqrt{\frac{0,5^2 + 0,5^2 + 0,6(0,9^2 + 0,6^2)}{3}} = \\ = 0,53 \text{ МВт;}$$

$$\sigma_{IT_4}[\Delta_{H_y}] = 0,01 \times 86,6 \sqrt{\frac{0,5^2 + 0,5^2 + 0,6(0,9 + 0,6^2)}{3}} =$$

$$= 0,55 \text{ МВт;}$$

$$\sigma_{HT5-8}[\Delta_{HY}] = 0,01 \times 249,4 \sqrt{\frac{0,5^2 + 0,5^2 + 0,6(0,9^2 + 0,6^2)}{3}} = \\ = 1,58 \text{ МВт.}$$

3.3. По формуле (4.5) рассчитываем  $\sigma_{ИПj}[\Delta_{HY}], \sigma_{ПСj}[\Delta_{HY}]$ , при этом принимаем  $K_p = 1,7$ :

$$\sigma_{ИП1}[\Delta_{HY}] = 0,01 \times \frac{0,5}{1,7} \times 30 = 0,09 \text{ МВт};$$

$$\sigma_{ИП2}[\Delta_{HY}] = 0,01 \times \frac{0,5}{1,7} \times 20 = 0,06 \text{ МВт};$$

$$\sigma_{ИП3}[\Delta_{HY}] = 0,01 \times \frac{0,5}{1,7} \times 60 = 0,17 \text{ МВт};$$

$$\sigma_{ИП4}[\Delta_{HY}] = 0,01 \times \frac{0,5}{1,7} \times 50 = 0,15 \text{ МВт};$$

$$\sigma_{ИП5-8}[\Delta_{HY}] = 0,01 \times \frac{0,5}{1,7} \times 165 = 0,49 \text{ МВт};$$

$$\sigma_{ПС1}[\Delta_{HY}] = 0,01 \times \frac{1,0}{1,7} \times 160 = 0,94 \text{ МВт};$$

$$\sigma_{ПС2}[\Delta_{HY}] = 0,01 \times \frac{1,0}{1,7} \times 640 = 3,76 \text{ МВт};$$

$$\sigma_{ПС3}[\Delta_{HY}] = 0,01 \times \frac{1,0}{1,7} \times 800 = 4,71 \text{ МВт};$$

$$\sigma_{TM}[\Delta_{HY}] = 0,01 \times \frac{0,6}{1,7} \times 800 = 2,82 \text{ МВт};$$

$$\sigma_{ЭВМ}[\Delta_{HY}] = 0,01 \times \frac{0,1}{1,7} \times 800 = 0,47 \text{ МВт.}$$

3.4. По формуле (4.9) рассчитываем СКО суммарной погрешности при НУ, при этом считаем  $\sigma_{УС}[\Delta_{HY}] = 0$ :

$$\sigma[\Delta_{H_U}] = \sqrt{0,26^2 + 0,26^2 + 0,53^2 + 0,55^2 + 0,09^2 + 0,06^2 + \dots} \\ + 0,17^2 + 0,15^2 + 4 \times 0,49^2 + 0,94^2 + 3,76^2 + 4,71^2 + 2,82^2 + \dots \\ + 0,47^2 = 7,49 \text{ МВт.}$$

3.5. По формулам (4.1) и (4.2) определяем границы интервала для  $P = 0,95$ ,  $K = 1,96$ :

$$\Delta_{H_{HU}} = -3,47 - 1,96 \times 7,49 = -18,15 \text{ МВт};$$

$$\Delta_{\delta_{HU}} = -3,47 + 1,96 \times 7,49 = 11,21 \text{ МВт.}$$

3.6. Приведенная погрешность границ интервала составляет:

$$\sigma_{H_{HU}} = - \frac{18,15}{800} \times 100 = - 2,27\%;$$

$$\sigma_{\delta_{HU}} = \frac{11,21}{800} \times 100 = 1,40\%.$$

4. Расчет верхней  $\Delta_{\delta}$  и нижней  $\Delta_H$  границ доверительного интервала суммарной погрешности для рабочих условий эксплуатации АСИ

4.1. Определяем существенные влияющие величины для АСИ, входящих в состав КТИ.

4.1.1. Наибольшее влияние на погрешность измерительного преобразователя оказывают отклонение температуры окружающего воздуха от  $(20 \pm 2)^\circ\text{C}$  и отклонение напряжения измеряемой цепи от номинального. Дополнительная погрешность, обусловленная другими влияющими величинами, несущественна, так как диапазон изменения этих влияющих величин (частота сети, напряженность магнитного поля, отклонение формы кривой тока и напряжения и т.д.) в реальных условиях эксплуатации значительно меньше диапазона, нормируемого в НТД на измерительный преобразователь. Это положение

является справедливым и для других АСИ КТИ (суммирующий преобразователь, устройство телемеханики).

Коэффициент влияния температуры на измерительный преобразователь определяем по формуле (4.15), при этом получаем  $t_{max} = 35^{\circ}\text{C}$ ,  $\Delta t = 10^{\circ}\text{C}$ :

$$K_{ИПt} = \frac{(35 - 22)}{10} = 1,3.$$

Проверяем, выполняется ли условие (4.16)

$$1,3 \times 0,5 > 0,17 \times 0,5.$$

По формуле (4.15) определяем коэффициент, учитывающий влияние отклонения напряжения от номинального:

$$K_{ИПU} = \frac{5\%}{20\%} = 0,25.$$

Проверяем, выполняется ли условие (4.16)

$$0,25 \times 0,5 > 0,17 \times 0,5.$$

Условие выполняется, поэтому отклонение напряжения от номинального считаем существенной влияющей величиной.

4.1.2. Для суммирующего преобразователя определяем  $K_{ПСt}$  по формуле (4.15):

$$K_{ПСt} = \frac{(35-25)}{10} = 1,0.$$

Условие (4.16) выполняется

$$1,0 \times 1,0 > 0,17 \times 1,0,$$

поэтому отклонение температуры от НУ является существенной величиной.

По формуле (4.15) определяем коэффициент, учитывающий влияние отклонения напряжения от номинального:

$$K_{ПСU} = \frac{5\%}{20\%} = 0,25;$$

$0,25 \times 0,5 < 0,17 \times 1,0$  – условие не выполняется, поэтому отклонение напряжения питания от номинального в пределах 5% является несущественной величиной для суммирующего преобразователя.

4.1.3. Для устройства телемеханики определяем:

$$K_{TM_U} = \frac{5\%}{10\%} = 0,5;$$

$0,5 \times 0,3 > 0,17 \times 0,6$  – условие выполняется, поэтому дополнительная погрешность существенна.

4.2. По формуле (4.14) определяем дополнительные погрешности измерительных преобразователей:

$$\sigma_{ИП1}(\varepsilon_t) = 0,01 \frac{0,5}{1,7} \times 30 \times 1,3 = 0,11 \text{ МВт};$$

$$\sigma_{ИП1}(\varepsilon_u) = 0,01 \frac{0,5}{1,7} \times 30 \times 0,25 = 0,03 \text{ МВт};$$

$$\sigma_{ИП2}(\varepsilon_t) = 0,01 \frac{0,5}{1,7} \times 20 \times 1,3 = 0,08 \text{ МВт};$$

$$\sigma_{ИП2}(\varepsilon_u) = 0,01 \frac{0,5}{1,7} \times 20 \times 0,25 = 0,02 \text{ МВт};$$

$$\sigma_{ИП3}(\varepsilon_t) = 0,01 \frac{0,5}{1,7} \times 60 \times 1,3 = 0,23 \text{ МВт};$$

$$\sigma_{ИП3}(\varepsilon_u) = 0,01 \frac{0,5}{1,7} \times 60 \times 0,25 = 0,06 \text{ МВт};$$

$$\sigma_{ИП4}(\varepsilon_t) = 0,01 \frac{0,5}{1,7} \times 50 \times 1,3 = 0,19 \text{ МВт};$$

$$\sigma_{ИП4}(\varepsilon_u) = 0,01 \frac{0,5}{1,7} \times 50 \times 0,25 = 0,05 \text{ МВт};$$

$$\sigma_{ИП5-8}(\varepsilon_t) = 0,01 \frac{0,5}{1,7} \times 165 \times 1,3 = 0,63 \text{ МВт};$$

$$\sigma_{ИП5-8}(\varepsilon_u) = 0,01 \frac{0,5}{1,7} \times 165 \times 0,25 = 0,16 \text{ МВт}.$$

4.3. По формуле (4.13) определяем:

$$\sigma_{\text{ИП1}}[\Delta] = \sqrt{0,09^2 + 0,11^2 + 0,03^2} = 0,15 \text{ МВт};$$

$$\sigma_{\text{ИП2}}[\Delta] = \sqrt{0,06^2 + 0,08^2 + 0,02^2} = 0,10 \text{ МВт};$$

$$\sigma_{\text{ИП3}}[\Delta] = \sqrt{0,17^2 + 0,33^2 + 0,06^2} = 0,29 \text{ МВт};$$

$$\sigma_{\text{ИП4}}[\Delta] = \sqrt{0,15^2 + 0,19^2 + 0,05^2} = 0,25 \text{ МВт};$$

$$\sigma_{\text{ИП5-8}}[\Delta] = \sqrt{0,49^2 + 0,63^2 + 0,16^2} = 0,81 \text{ МВт}.$$

4.4. По формуле (4.14) определяем дополнительные погрешности суммирующих преобразователей:

$$\sigma_{\text{ПС1}}(\varepsilon_t) = 0,01 \times \frac{1,0}{1,7} \times 160 = 0,94 \text{ МВт};$$

$$\sigma_{\text{ПС2}}(\varepsilon_t) = 0,01 \times \frac{1,0}{1,7} \times 640 = 3,76 \text{ МВт};$$

$$\sigma_{\text{ПС3}}(\varepsilon_t) = 0,01 \times \frac{1,0}{1,7} \times 800 = 4,71 \text{ МВт}.$$

4.5. По формуле (4.13) определяем:

$$\sigma_{\text{ПС1}}[\Delta] = \sqrt{0,94^2 + 0,94^2} = 1,33 \text{ МВт};$$

$$\sigma_{\text{ПС2}}[\Delta] = \sqrt{3,76^2 + 3,76^2} = 5,30 \text{ МВт};$$

$$\sigma_{\text{ПС3}}[\Delta] = \sqrt{4,71^2 + 4,71^2} = 6,64 \text{ МВт}.$$

4.6. По формуле (4.14) определяем дополнительную погрешность устройства телемеханики:

$$\sigma_{\text{TM}}(\varepsilon_u) = 0,01 \times \frac{0,3}{1,7} \times 0,5 \times 800 = 0,71 \text{ МВт}.$$

4.7. По формуле (4.13) определяем:

$$\sigma_{\text{TM}}[\Delta] = \sqrt{2,82^2 + 0,71^2} = 2,91 \text{ МВт}.$$

4.8. По формуле (4.12) определяем СКО суммарной погрешности КТИ в реальных условиях эксплуатации:

$$\sigma[\Delta] = \sqrt{0,26^2 + 0,26^2 + 0,53^2 + 0,55^2 + 4 \times 1,58^2 + 0,15^2 + \dots} \\ + 0,10^2 + 0,29^2 + 0,25^2 + 4 \times 0,81^2 + 1,33^2 + 5,30^2 + 6,64^2 + \dots \\ + 2,91^2 + 0,47^2 = 9,81 \text{ МВт.}$$

4.9. По формулам (4.10), (4.11) определяем доверительные границы интервала, в котором с  $P = 0,95$  находится суммарная погрешность КТИ мощности, при этом полагаем  $M[\Delta_{hy}] = M[\Delta]$ :

$$\Delta_H = -3,47 - 1,96 \times 9,81 = -22,70 \text{ МВт};$$

$$\Delta_B = -3,47 + 1,96 \times 9,81 = 15,75 \text{ МВт.}$$

4.10. Приведенная погрешность границ интервала:

$$\delta_H = \frac{-22,70}{800} \times 100 = -2,84\%;$$

$$\delta_B = \frac{15,75}{800} \times 100 = 1,97\%.$$

5. Результаты расчета МХ КТИ суммарной мощности ТЭЦ приведены в табл.П2.3.

Т а б л и ц а П2.3

Метрологические характеристики КТИ суммарной мощности ТЭЦ

$P = 0,95$	
$\Delta_{H_{hy}}$ МВт	-18,1
$\Delta_{B_{hy}}$ МВт	11,21
$\Delta_H$ МВт	-22,7
$\Delta_B$ МВт	15,8

## О ГЛАВЛЕНИЕ

1. Общие положения .....	3
2. Выбор комплекса метрологических характеристик каналов телеметрий .....	4
3. Исходные данные для расчета метрологических характеристик каналов телеметрий .....	4
4. Расчет первого комплекса метрологических характеристик каналов телеметрий .....	6
5. Расчет второго комплекса метрологических характеристик каналов телеметрий .....	II
6. Формы выражения метрологических характеристик каналов телеметрий .....	15
Приложение 1. Определения терминов, используемых в Методике .....	15
Приложение 2. Пример расчета метрологических характеристик каналов телеметрий суммарной мощности ТЭЦ .....	16

Литературный редактор А.А.Шкакин

Технический редактор Е.Н.Безза

Корректор В.Д.Алексеева

Подписано к печати 25.05.89

Формат 60x84 1/16

Печать офсетная Усл.печ.л.1,63 Уч.-изд.л. 1,5 Тираж 500 экз.

Заказ №

Издат. № 89580

Производственная служба передового опыта эксплуатации  
энергопредприятий Сорттехэнерго  
105023, Москва, Семеновский пер., д.15

Участок оперативной полиграфии СПО Сорттехэнерго  
109432, Москва, 2-й Кожуховский проезд, д.29, строение 6